

Détection de collisions

Géométrie algorithmique - INFO-F-420

Tim Lenertz

ULB, MA1 INFO

22 avril 2014

1 Introduction

- Bounding boxes
- Subdivision d'espace
- Polygones convexes

2 Intersection droite-polygone convexe

- Fonction unimodale
- Fonction bimodale
- Bimodalité sur polygone convexe
- Algorithme IGL

3 Intersection de deux polygones convexes

- Généralisations
- Algorithme IGG

4 Distance minimale de deux polygones convexes

- Algorithme d'élimination binaire

Introduction

- Espace 2D/3D avec objets géométriques animés
- Détecter collisions de façon dynamique
- Ex. simulations physiques, jeux video, robotique, ...
- Temps réel → Algorithmes efficaces
- Calcul d'intersection, distance entre objets
- Structure de données des objets
- Subdivision de l'espace

A posteriori

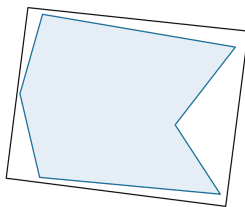
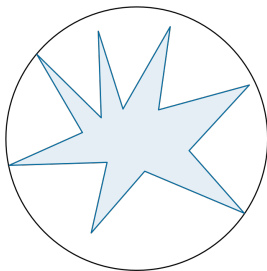
- Faire avancer simulation
- Intersection de produit
- → Corriger, traitement de collision
- ex. appliques lois cinétiques

A priori

- Prédire collisions
- Intersection ne se produisent jamais
- Calcul de temps/point d'impact futur
- ex. contrôleur système réel

Bounding boxes

- Enveloppe simple autour d'objet
- ex. rectangle, sphère, polygone convexe
- Permet exclure collision en $O(1)$

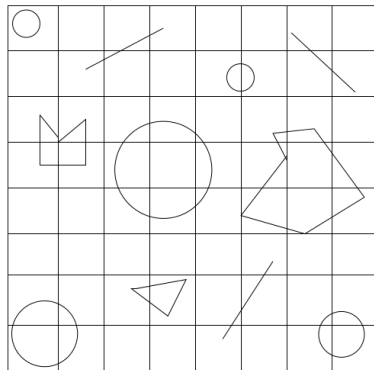


Subdivision d'espace

- Scène complexe avec bcp d'objets
- Peu de collisions possibles ($\ll n^2$)
- Regrouper objets proches / collisions potentielles
- Exclure majorité des tests

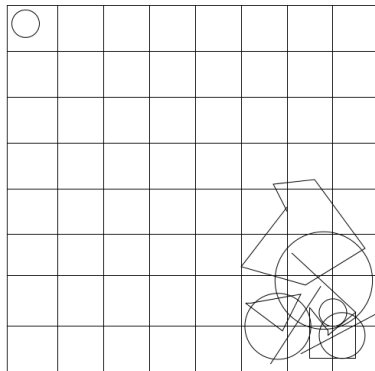
Grille uniforme

- Cellules carrées/cubiques de même taille
- Enregistrer objets/cellule
- Tester seulement ds même cellule
- Bonne performance si objets distribués uniformément



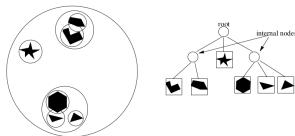
Grille uniforme (2)

- Clustering
- Cellules trop grandes/petites
- Dégénère vers $O(n^2)$



Bounding Volume Hierarchy

- Regrouper objets dans arbre (dynamique)
- Tester d'abord *bounding boxes* des groupements
- Peut atteindre $O(\log n)$



Autres optimisations

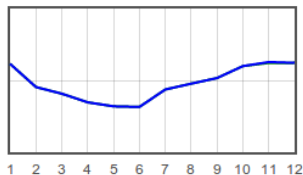
- Quadtree/Octree
- Binary Space Partition
- View Frustum Culling
- ...

Introduction

- Traité ici : polygones convexes (2D)
- Algorithmes : intersection, distance minimale
- en $O(\log n)$

Fonction unimodale

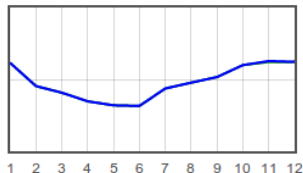
- Fonction réelle sur entiers $f : \{1, 2, \dots, n\} \rightarrow \mathbb{R}$
- Existe entire $m \in [1, n]$
- f strictement \nearrow (\searrow) en $[1, m]$ et str. \searrow (\nearrow) en $[m+1, n]$
- Exemple :



$m = 6$

Trouver maximum et minimum

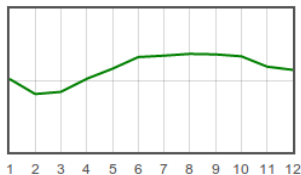
- Comparer $f(1)$ et $f(2)$, pour déterminer si $\nearrow \searrow$ ou $\searrow \nearrow$
- $\nearrow \searrow$: Minimum = $\min\{f(1), f(n)\}$, Maximum = m
- $\searrow \nearrow$: Maximum = $\max\{f(1), f(n)\}$, Minimum = m
- Recherche dichotomique : Trouver point où signe de $f(i+1) - f(i)$ change
- Complexité logarithmique $O(\log n)$



$m = 6$

Fonction bimodale

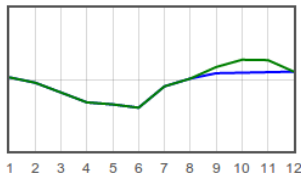
- Décalage circulaire d'une fonction unimodale
- Il existe $r \in [1, n]$ tel que $f(r), f(r+1), \dots, f(n), f(1), f(2), \dots, f(r-1)$ est unimodale
- Deux extréma à l'intérieur
- Soit $\nearrow \searrow \nearrow$ et $f(1) > f(n)$, ou $\searrow \nearrow \searrow$ et $f(1) < f(n)$



$\min = f(2); \max = f(8)$

Trouver maximum et minimum

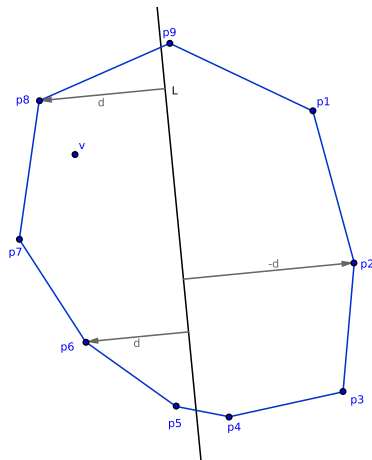
- Pour le cas $f(1) < f(n)$ et $\searrow \nearrow \searrow$:
- Si $f(2) < f(1)$:
 - Soit $T(x)$ droite de $(1, f(1))$ à $(n, f(n))$ (\nearrow)
 - Soit $g(x) = \min\{T(x), f(x)\}$
 - g est unimodale, $\min f = \min g$
 - $\max f$ dans séq. unimodale $f(m+1), f(m+2), \dots, f(n)$
 - Donc on trouve min et max en $O(\log n)$
- Si $f(2) > f(1)$: $f(1)$ est minimum, maximum est dans $f(2) \dots f(n)$ (unimodal)



f en vert, g en vert+bleu

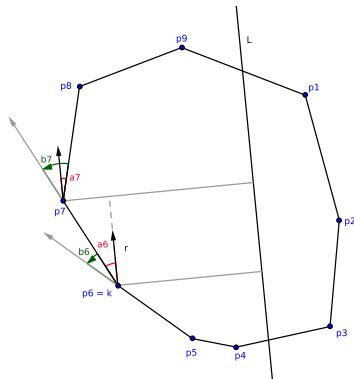
Distances orientées

- Soit P polygone convexe
- $\{p_1, p_2, \dots, p_n\}$ points en sens horlogique
- $d(p_i, L) =$ distance orthogonale de p_i à L
- Distance orientée $h(p_i, L, v)$:
 - $= d(p_i, L)$ si p_i et v sur même côté de P
 - $= -d(p_i, L)$ sinon
- $h(i) = h(p_i, L, v)$ bimodale



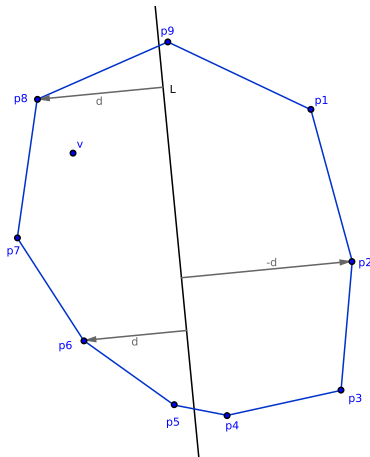
Démonstration bimodalité de h

- Soit p_k point qui minimise h
- Montrer que $f(k), f(k+1), \dots, f(k-1)$ est unimodale (indices modulo n) :
 - r vecteur directeur de L (avec $\angle(r, p_i p_{i+1}) < \pi$)
 - $h(i+1) = h(i) + |p_i p_{i+1}| \sin a_i$
 - $a_{i+1} = a_i - b_{i+1}$
 - $b_i < \pi$ car P est convexe
 - $\sum b_i = 2\pi$
 - $\sin a_k, \sin a_{k+1}, \dots, \sin a_{k-1}$ positive, puis négative
 - Donc $f(k), f(k+1), \dots, f(k-1)$ unimodale \square

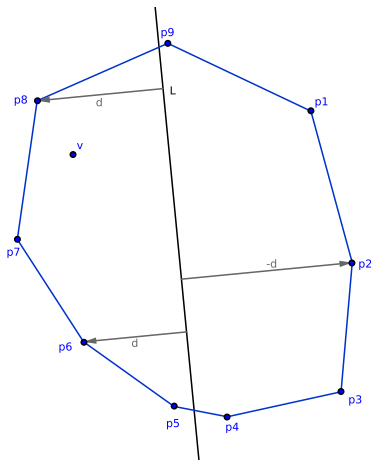


Algorithme IGL

- Trouver points $P \cap L$ en temps logarithmique
- Utiliser $h(p_i, L, p_1)$ bimodale
- Soit p_k minimum de h
- Si $h(k) > 0$:
 - Tous les points sur même côté de P
 - (= côté de p_1)
 - donc pas d'intersection
- Si $h(k) = 0$:
 - p_k est unique point d'intersection
 - Autres points tous sur même côté



- Si $h(k) < 0$:
 - 2 points d'intersection
 - Sur segments $p_i p_{i+1}$ pour lesquels $h(i) \times h(i+1) < 0$
 - Recherche dichotomique sur séq. monotones $h(k), h(k+1), \dots, h(n)$ et $h(1), h(2), \dots, h(k)$
 - (p_1 côté opposé de p_k)
 - Calculer $p_i p_{i+1} \cap L$
- Donc points d'intersection trouvés en $O(\log n)$ \square



Démo

Généralisations

- Généralisation de l'algo précédent
- Sur objets convexes 2D et 3D
- Temps logarithmiques
- On intersecte l'intérieur des objets
- Complexités :

droite-droite $O(1)$

droite-polygone $O(\log n)$

droite-plan $O(1)$

droite-polyhédron $O(\log^2 n)$

polygone-polygone $O(\log n)$

polygone-plan $O(\log n)$

polygone-polyhédron $O(\log^2 n)$

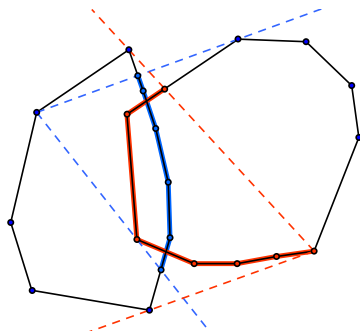
plan-plan $O(1)$

plan-polyhédron $O(\log^2 n)$

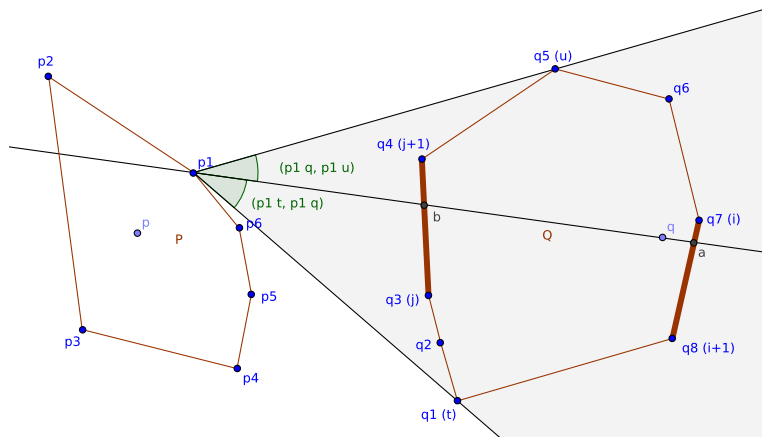
polyhédron-polyhédron $O(\log^3 n)$

Algorithme IGG

- Reduire à intersection de deux polygones
- Elimination binaire
- $O(\log(n + m))$

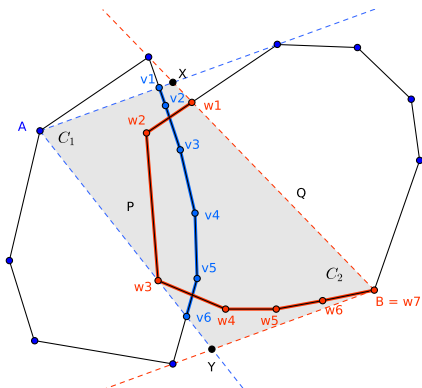


Phase initiale (1)



- $q \in Q$ quelconque
- $a, b = p_1 q \cap Q$ (algorithme IGL)
- Si $p_1 \in ab$, intersection en p_1

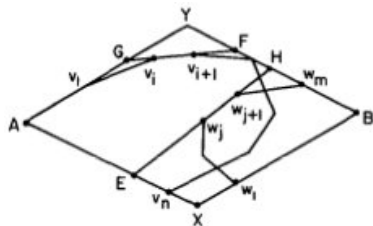
Phase initiale (2)



- Dédurre polygones L_v et L_w
- Intersections $C_1 \cap Q$ + points de Q (même pour P)
- Possible en $O(\log n)$ par IGL
- P et Q intersectent ssi L_v et L_w intersectent

Démo

Phase itérative

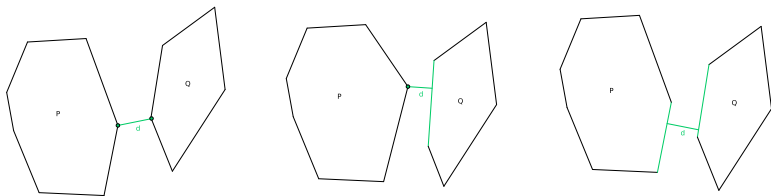


- Soit $n = |L_v|$, $m = |L_w|$
- Tant que $n, m > 5$ (sinon, différent algorithme)
- $i = \lfloor \frac{n}{2} \rfloor$ et $j = \lfloor \frac{m}{2} \rfloor$
- $F, G = v_i v_{i+1} \cap AYBX$ (avec $v_{i+1} \in v_i F$)
- $E, H = w_j v_{j+1} \cap AYBX$ (avec $w_{j+1} \in v_j H$)
- Eliminer à chaque étape moitié de L_v et/ou L_w

Détail algorithme

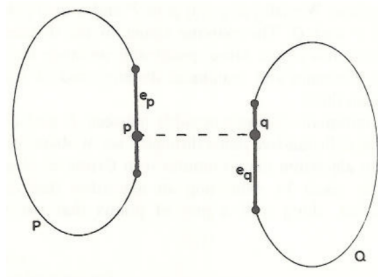
Distance minimale de deux polygones convexes

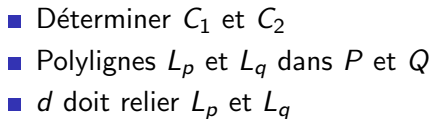
- Segment d de longueur minimale qui relie P et Q
- Détection collisions *à priori*
- Algorithme en $O(\log n + \log m)$
- 3 cas possibles : point-point, point-droite, droite-droite
- droite-droite : parallèles, = point-droite



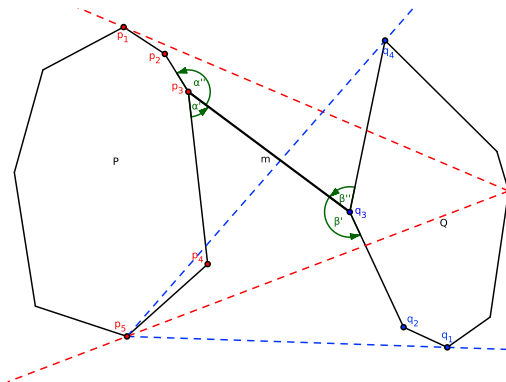
Preuve 3 cas possibles

- Soit $d = pq$
- p, q doivent être sur bord des polygones
- p et/ou q doit être coin de polygone
- Eliminer cas où p et q sont sur segments :
 - Soit $p \in e_p$ et $q \in e_q$
 - Alors $e_p \parallel e_q$
 - \exists projection orthogonale de point de e_p (e_q) sur e_q (e_p)



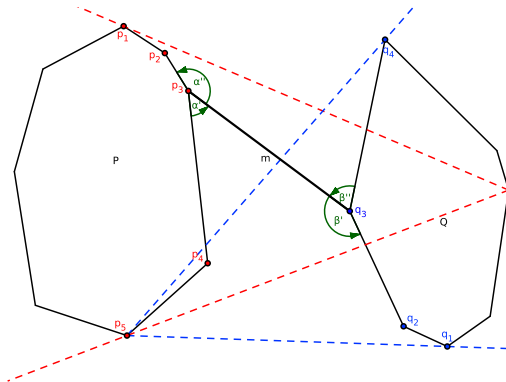


Phase itérative



- $i = \lfloor \frac{n}{2} \rfloor$ et $j = \lfloor \frac{m}{2} \rfloor$, $m = p_i q_j$
- $\alpha' + \alpha'' \geq \pi$ et donc $\alpha' \geq \frac{\pi}{2}$ ou $\alpha'' \geq \frac{\pi}{2}$
- $\alpha' + \beta' \leq \pi$ implique $\alpha' < \beta''$
- $\alpha' + \beta' > \pi$ ou $\alpha'' + \beta'' > \pi$

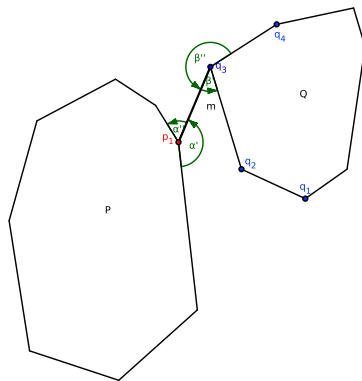
Phase itérative (2)



- Eliminer moitié de L_p et/ou L_q
- Jusqu'à $|L_p|, |L_q| \leq 2$
- Distinguer cas selon $|L_p|$ et $|L_q|$

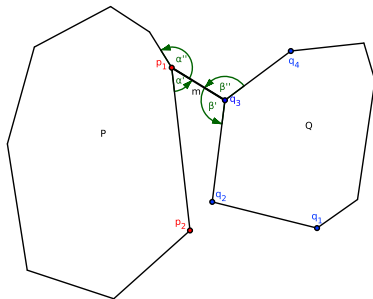
Cas 1 : $|L_p| = 1$

- Si $\beta' \geq \frac{\pi}{2}$: $q_{\text{first}} \leftarrow q_j$
- Si $\beta'' \geq \frac{\pi}{2}$: $q_{\text{last}} \leftarrow q_j$
- $|L_q| = 1$ est symétrique
- Au moins une condition doit être vraie
- \leftarrow On élimine tjs moitié



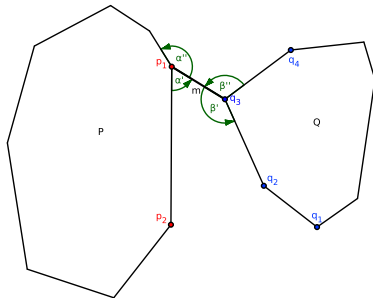
Cas 2 : $|L_p| = 2$ Si m sort de P :1 Si $\alpha' + \beta' > \pi$:Si $\alpha' \geq \frac{\pi}{2}$, $p_{\text{first}} \leftarrow p_2$ Si $\beta' \geq \frac{\pi}{2}$, $q_{\text{first}} \leftarrow q_j$ 2 Si $\beta'' \geq \frac{\pi}{2}$: $q_{\text{last}} \leftarrow q_j$

3 ...



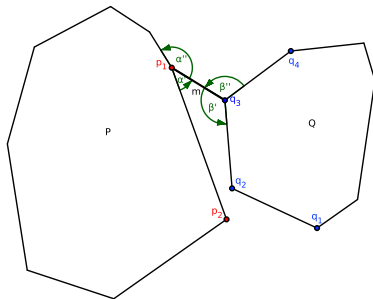
Cas 2 : $|L_p| = 2$ Si m sort de P :1 Si $\alpha' + \beta' > \pi$:Si $\alpha' \geq \frac{\pi}{2}$, $p_{\text{first}} \leftarrow p_2$ Si $\beta' \geq \frac{\pi}{2}$, $q_{\text{first}} \leftarrow q_j$ 2 Si $\beta'' \geq \frac{\pi}{2}$: $q_{\text{last}} \leftarrow q_j$

3 ...



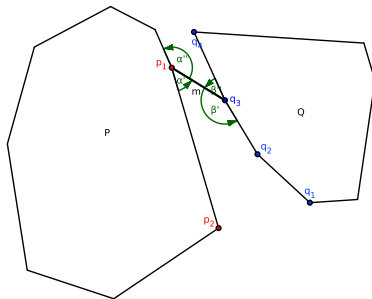
Cas 2 : $|L_p| = 2$ Si m sort de P :1 Si $\alpha' + \beta' > \pi$:Si $\alpha' \geq \frac{\pi}{2}$, $p_{\text{first}} \leftarrow p_2$ Si $\beta' \geq \frac{\pi}{2}$, $q_{\text{first}} \leftarrow q_j$ 2 Si $\beta'' \geq \frac{\pi}{2}$: $q_{\text{last}} \leftarrow q_j$

3 ...



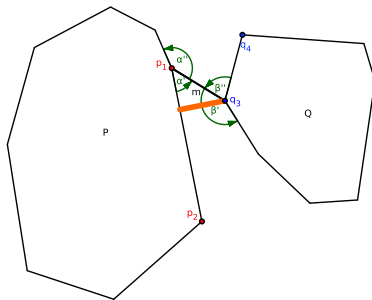
Cas 2 : $|L_p| = 2$ Si m sort de P :1 Si $\alpha' + \beta' > \pi$:Si $\alpha' \geq \frac{\pi}{2}$, $p_{\text{first}} \leftarrow p_2$ Si $\beta' \geq \frac{\pi}{2}$, $q_{\text{first}} \leftarrow q_j$ 2 Si $\beta'' \geq \frac{\pi}{2}$: $q_{\text{last}} \leftarrow q_j$

3 ...



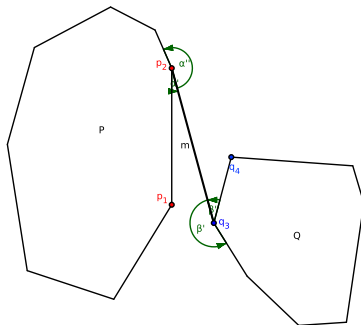
Cas 2 : $|L_p| = 2$ (2)Si m sort de P :1 Si $\alpha' + \beta' > \pi$:Si $\alpha' \geq \frac{\pi}{2}$, $p_{\text{first}} \leftarrow p_2$ Si $\beta' \geq \frac{\pi}{2}$, $q_{\text{first}} \leftarrow q_j$ 2 Si $\beta'' \geq \frac{\pi}{2}$: $q_{\text{last}} \leftarrow q_j$

⋮

3 Si $\alpha' < \beta'' < \frac{\pi}{2}$:■ Si proj orth q_j sur p_1p_2
existe : $q_{\text{last}} \leftarrow q_j$ ■ Sinon : $p_{\text{last}} \leftarrow p_1$ 

Cas 2 : $|L_p| = 2$ (2)Si m sort de P :1 Si $\alpha' + \beta' > \pi$:Si $\alpha' \geq \frac{\pi}{2}$, $p_{\text{first}} \leftarrow p_2$ Si $\beta' \geq \frac{\pi}{2}$, $q_{\text{first}} \leftarrow q_j$ 2 Si $\beta'' \geq \frac{\pi}{2}$: $q_{\text{last}} \leftarrow q_j$

⋮

3 Si $\alpha' < \beta'' < \frac{\pi}{2}$:■ Si $\text{proj orth } q_j \text{ sur } p_1p_2$
existe : $q_{\text{last}} \leftarrow q_j$ ■ Sinon : $p_{\text{last}} \leftarrow p_1$ 

1 Si $\alpha' + \beta' > \pi$:

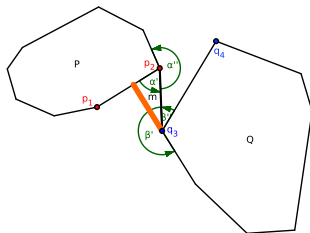
$$\text{Si } \alpha' \geq \frac{\pi}{2}, p_{\text{first}} \leftarrow p_2$$
$$\text{Si } \beta' \geq \frac{\pi}{2}, q_{\text{first}} \leftarrow q_j$$

2 Si $\beta'' \geq \frac{\pi}{2}$: $q_{\text{last}} \leftarrow q_j$

•
•
•

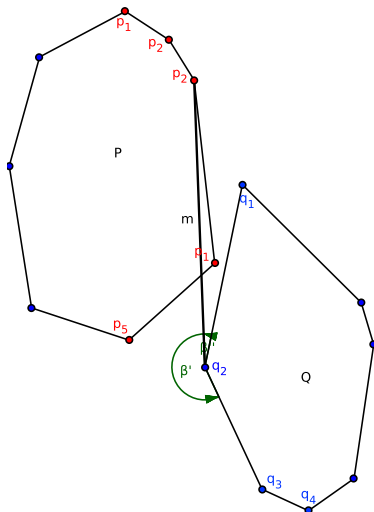
3 Si $\alpha' < \beta'' < \frac{\pi}{2}$:

- Si proj orth q_j sur $p_1 p_2$ existe : $q_{\text{last}} \leftarrow q_j$
- Sinon : $p_{\text{last}} \leftarrow p_1$



Cas 2 : $|L_p| = 2$ (3)Si m entre dans P :

- $p_{\text{last}} \leftarrow p_1$
- Si $\beta' \geq \pi$: $q_{\text{first}} \leftarrow q_j$
- Si $\beta'' \geq \pi$: $q_{\text{last}} \leftarrow q_j$



Cas 3 : $|L_p| \geq 3$ et $|L_q| \geq 3$

Si m sort de P et de Q :

1 Si $\alpha' + \beta' > \pi$:

Si $\alpha' \geq \frac{\pi}{2}$: $p_{\text{first}} \leftarrow p_i$

Si $\beta' \geq \frac{\pi}{2}$: $q_{\text{first}} \leftarrow q_j$

2 Si $\alpha'' + \beta'' > \pi$:

Si $\alpha'' \geq \frac{\pi}{2}$: $p_{\text{last}} \leftarrow p_i$

Si $\beta'' \geq \frac{\pi}{2}$: $q_{\text{last}} \leftarrow q_j$

Si m entre dans P ou Q :

similaire au cas précédent

